

# 胃癌组织内 miR-29a 与 VEGF-A 表达的相关性研究

李学成<sup>1</sup>, 卢斌<sup>2</sup>, 王宗华<sup>3</sup>, 何凤<sup>2</sup>, 胡春燕<sup>2</sup>, 刘志鹏<sup>1</sup>, 邹利全<sup>1</sup>,  
熊晓峰<sup>1</sup>, 杨帆<sup>2</sup>, 陈陵<sup>1</sup>

(1. 中国人民解放军第 324 医院, 重庆 400020; 2. 第三军医大学新桥医院, 重庆  
400037; 3. 第三军医大学护理学院, 重庆 400038)

**摘要:** [目的] 观察 miR-29a 和血管内皮生长因子-A(VEGF-A)在胃癌病人血清及组织中的表达, 分析两者表达相关性。[方法] 采用荧光实时定量 PCR 技术检测 50 例胃癌患者血清中 miR-29a, 采用 ELISA 技术检测血清 VEGF-A 的表达, 利用免疫组化法检测 113 例胃癌组织(57 例 miR-29a 高表达组及 56 例 miR-29a 低表达组)中 VEGF-A 的表达, 并分析两者表达相关性; 利用生物信息学预测 miR-29a 与 VEGF-A 3'UTR 结合位点。[结果] 胃癌患者血清中 miR-29a 与 VEGF-A 的表达呈现明显负相关 ( $R^2=0.56, P<0.0001$ ); 胃癌组织中 miR-29a 低表达组 VEGF-A 表达阳性率明显高于 miR-29a 高表达组 ( $74.32\% \pm 7.98\% \text{ vs } 34.37\% \pm 6.59\%, P<0.001$ ); VEGF-A 3'UTR 序列可能有 miR-29a 稳定的结合位点。[结论] miR-29a 是一个潜在的抑癌 miRNA, 可能是通过抑制 VEGF-A 的表达而发挥抑癌作用。

**主题词:** 胃肿瘤; miR-29a; 血管内皮生长因子-A

中图分类号: R735.2 文献标识码: A 文章编号: 1671-170X(2013)01-0038-04

## Expression of miR-29 and Its Relationship with Vascular Endothelial Growth Factor-A(VEGF-A) in Gastric Cancer

LI Xue-cheng<sup>1</sup>, LU Bing<sup>2</sup>, WANG Zong-hua<sup>3</sup>, et al.

(1. No. 324 Hospital of PLA, Chongqing 400020, China; 2. Xinqiao Hospital, the Third Military Medical University, Chongqing 400038, China; 3. Nursing School, the Third Military Medical University, Chongqing 400038, China)

**Abstract:** [Purpose] To investigate the expression of miR-29a and its relationship with vascular endothelial growth factor-A(VEGF-A) in gastric cancer tissues and serum. [Methods] The expression of serum miR-29a and VEGF-A in 50 cases with gastric cancer were detected by real-time PCR and ELISA, respectively. The expression of VEGF-A in 113 gastric cancer tissues (57 cases with miR-29a high expression, 56 cases with miR-29a low expression) were detected immunohistochemically, and the expressions between serum and tissues miR-29a or VEGF-A in gastric cancer were analyzed. The miR-29a binding site on VEGF-A 3'UTR sequence was analyzed by bioinformatic predictions program. [Results] The expression of miR-29a and VEGF-A in the serum of patients with gastric cancer was significantly negative correlation( $R^2=0.56, P<0.0001$ ). The expression of VEGF-A in low miR-29a expression group of gastric cancer tissues was significantly higher than that in high miR-29a expression group ( $74.32\% \pm 7.98\% \text{ vs } 34.37\% \pm 6.59\%, P<0.001$ ). VEGF-A 3'UTR sequence might have stable binding site with miR-29a. [Conclusion] By suppressing VEGF-A expression, miR-29a is probably a potential tumor suppressing miRNA.

**Subject words:** gastric neoplasms; miR-29a; vascular endothelial growth factor-A(VEGF-A)

胃癌是我国常见的消化系统恶性肿瘤, 在我国其发病率高居各类肿瘤之首。尽管在过去的数十年中, 在胃癌的诊断和治疗方面有了很大的进展, 但是其 5 年生存率仍然很低, 因此, 寻找有效的早期诊断

**基金项目:** 重庆市自然科学基金(CSTC2010BB5158; CSTC2011AC5024; CSTC2011jjA0878; CSTC2011jjA0882; CSTC2012jjA1736)

**通讯作者:** 陈陵, 主治医师, 博士; 中国人民解放军第 324 医院消化内科, 重庆市江北区建新东路 29 号(400020), E-mail:lingcong\_008@126.com。

**收稿日期:** 2012-10-19; 修回日期: 2012-12-02

指标及治疗靶标是胃癌治疗一个亟待解决的难题<sup>[1]</sup>。miRNAs 是新近发现的一类重要的基因表达调控分子, 已证实在肿瘤的发生发展及侵袭转移中发挥重要的作用。miR-29a 是新近发现可在多种肿瘤中起到抑癌基因作用的 miRNA 分子<sup>[2,3]</sup>。我们的前期研究也发现, miR-29a 在胃癌患者血清及胃癌组织中表达均明显低于正常人<sup>[4,5]</sup>, 且 miR-29a 可抑制胃癌组织内微血管的形成, 从而抑制胃癌发生及发展<sup>[6]</sup>。

但 miR-29a 抑制微血管形成的具体分子机制尚不清楚。血管内皮生长因子 A(VEGF-A)是血管生成过程中的关键分子,可促进内皮细胞渗透、激活、存活、增殖、浸润和迁移,从而与肿瘤血管生成和淋巴管形成密切相关,阻断 VEGF 信号途径可抑制肿瘤的生长和转移<sup>[7,8]</sup>。本研究拟检测胃癌病人血清及组织中 miR-29a 与 VEGF-A 的表达,并进行相关性分析,探讨 miR-29a 抑制胃癌组织内微血管形成的具体分子机制。

## 1 材料与方法

### 1.1 研究对象及标本采集

免疫组化所用样本来自中国人民解放军 324 医院 2005~2010 年胃癌手术切除病例 113 例,纳入及排除标准详见参考文献[5]。胃癌患者血清样本来自 2012 年 3 月至 6 月收治的胃癌患者 50 例,其中男性 28 例,女性 32 例,年龄在 35~68 岁,高分化 15 例,中分化 17 例,低分化 18 例。病人入院后次日早晨 6 点空腹采集外周静脉血 5ml,经 3 000r/min 离心 10min 收集上层血清,置于-80℃冰箱待检。

### 1.2 主要试剂

TaKaRa RNAiso RNA 抽提试剂、逆转录试剂盒及 SYBR Premix Ex Taq 试剂盒均购自日本 TaKaRa 公司;U6 及 miR-29a 特异性 RT-PCR 引物套装购自广州锐博公司;免疫组化 SP 试剂盒购自北京中杉公司;鼠抗人 VEGF-A 单克隆抗体购自美国 Santa Cruz 公司;VEGF-A ELISA 试剂盒购自美国 R&D 公司;实时荧光定量 PCR 仪(7500 系统)购自美国 ABI 公司;酶标仪(9602A)购自南京普朗医疗器械公司。

### 1.3 方法

#### 1.3.1 ELISA 法检测胃癌患者血清中 VEGF-A 的浓度

操作步骤严格按照试剂盒说明书进行,分别设空白孔、标准品孔、待测样品孔。在酶标包被板上标准品准确加样 50μl,待测样品孔中先加样品稀释液 40μl,然后再加待测样品 10μl(样品最终稀释度为 5 倍)。封板后置 37℃温预 30min;洗涤液洗板 5 次,拍干;每孔加入酶标试剂 50μl,空白孔除外,37℃温预 30min 后,洗涤 5 次;每孔加入显色剂 A 50μl,再加入显色剂 B 50μl,轻轻震荡混匀,37℃避光显色 15min,加入终止液 50μl,终止反应;以空白孔调零,450nm 波长依序测量各孔的吸光度(OD 值)。

#### 1.3.2 real-time PCR 检测胃癌患者血清中 miR-29a 表达

以 U6 管家基因为内参,校正器参考文献方法<sup>[9]</sup>,选用 SGC-7901 细胞系。按照 TaKaRa RNAiso 试剂操作手册,提取细胞总 RNA,并测定 mRNA 浓度;TaKaRa RT 逆转录试剂盒合成 cDNA 后行 real-time PCR 检测,在 20μl 反应体系中加入:SYBR Green PCR Master Mix 10μl, 上下游引物各 0.5μl,cDNA 1μl,ddH<sub>2</sub>O 8μl; 设置条件为:94℃ 3min,94℃ 30s,60℃ 30s,72℃ 40s,40 个循环,72℃延伸 3min。

采用  $2^{-\Delta\Delta Ct}$  法进行结果分析,将不同标本的 RQ 值( $RQ=2^{-\Delta\Delta Ct}$ )进行比较。 $\Delta Ct$ =目的基因 Ct 值-内参基因 Ct 值, $\Delta\Delta Ct$ =待测标本的  $\Delta Ct$ -校正器  $\Delta Ct$ ,详见参考文献[5]。

#### 1.3.3 免疫组化法检测胃癌组织中 VEGF-A 表达

免疫组化法检测 miR-29a 高表达及低表达组中 VEGF-A 的表达情况,分组信息详见参考文献[5]。胃癌患者术后立即收集标本经甲醛固定,石蜡包埋,4μm 厚度切片后行免疫组化。免疫组化染色采用 SP 法,严格按照试剂盒说明书进行,用 PBS 代替一抗作为阴性对照。结果判定标准<sup>[10]</sup>,VEGF-A 阳性反应着色均定位于细胞胞浆或细胞膜内,呈棕黄或棕褐色者被认为阳性细胞,取 4 个不同的 200 倍视野观察,计算 VEGF-A 阳性细胞率。

#### 1.3.4 生物信息学预测 miR-29a 与 VEGF-A 3'UTR 结合位点

采用常见的靶标基因预测软件 Targetscan 及 RNAhybrid 预测 miR-29a 与 VEGF-A 的 3'UTR 结合位点。在线预测网站分别为 <http://www.targetscan.org/> 及 <http://bibiserv.techfak.uni-bielefeld.de/rnahybrid/>。

### 1.4 统计学分析

数据采用 SPSS 13.0 统计学软件进行 t 检验及 Pearson 相关性分析,组间比较差异情况,P<0.05 被认为差异具有统计学意义。

## 2 结 果

### 2.1 胃癌患者血清内 miR-29a 与 VEGF-A 表达相关性

采用 real-time PCR 法检测胃癌患者血清中 miR-29a 的表达水平,结果发现胃癌患者血清中 miR-29a 相对表达量最低为 0.02,最高为 6.87,平均

值为  $2.68 \pm 1.47$ ；采用 ELISA 法检测患者血清中 VEGF-A 表达，发现 VEGF-A 浓度最低为  $48.76 \text{ pg/ml}$ ，最高位  $291.76 \text{ pg/ml}$ ，平均值为  $132.867 \pm 63.72 \text{ pg/ml}$ 。以 miR-29a 相对表达量作为 Y 轴，VEGF-A 的表达量作为 X 轴，采用 Pearson 相关性分析 (Figure 1)。结果发现 VEGF-A 的表达量与 miR-29a 相对表达量成显著负相关 ( $R^2=0.56, P<0.0001$ )。

## 2.2 胃癌组织中 miR-29a 与 VEGF-A 表达相关性

根据 miR-29a 表达水平，以胃癌组织中 miR-29a 相对表达量平均值为界，将 113 例胃癌组织分为 miR-29a 高表达及低表达组<sup>[5]</sup>。进一步采用免疫组化法检测 miR-29a 高表达及低表达组织中 VEGF 的表达。结果发现，113 例胃癌组织中，低表达 miR-29a 的 56 例样本中 VEGF-A 平均表达阳性率为  $74.32\% \pm 7.98\%$ ，而高表达 miR-29a 的 57 例样本中 VEGF-A 的平均表达阳性率为  $34.37\% \pm 6.59\%$  (Figure 2)。以上结果显示 miR-29a 高表达组的 VEGF-A 的表达明显高于 miR-29a 低表达组 ( $P<0.001$ )。

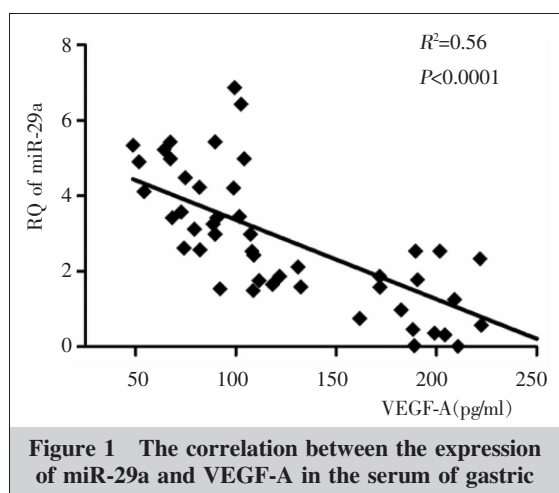


Figure 1 The correlation between the expression of miR-29a and VEGF-A in the serum of gastric cancer patients

## 2.3 miR-29a 与 VEGF-A 3'UTR 结合位点预测

为进一步探讨 miR-29a 与 VEGF 表达相关性，我们采用在线预测的方法对 miR-29a 与 VEGF-A 3'UTR 结合位点进行预测，结果发现，Targetscan 及 RNAhybrid 法均预测到 VEGF-A 3'UTR 内有 miR-29a 稳定结合的位点 (Figure 3)。这提示 VEGF-A 可能是 miR-29a 直接调控的靶基因之一。

## 3 讨 论

miRNAs 作为一类内源性非编码的小 RNAs，通过与靶基因特异性作用，在转录或翻译水平调节相关基因表达，参与发育、增殖、分化及凋亡等多种生物学过程。与肿瘤相关的 miRNAs 由于参与调节肿瘤发生、发展与转移等关键环节而成为近年来的研究热点。其中 miR-29a 在众多实体肿瘤如神经胶质瘤、肝细胞癌、肉瘤、脑肿瘤等中均发现呈现低表达状态，通过抑制靶基因的表达而作为肿瘤抑制基因

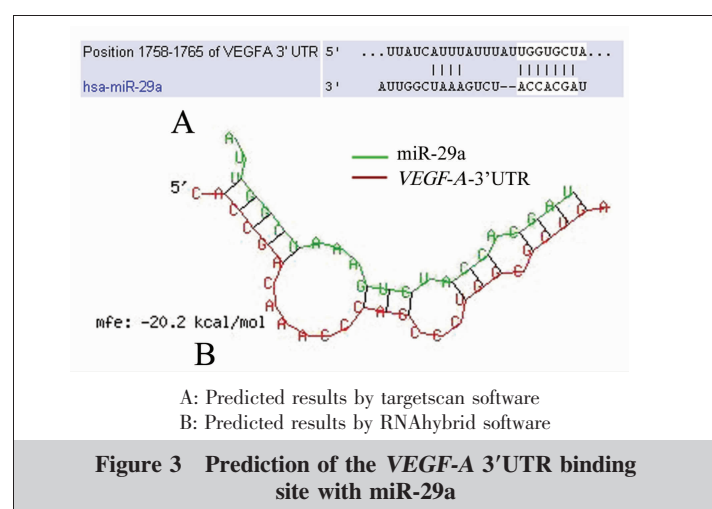


Figure 3 Prediction of the VEGF-A 3'UTR binding site with miR-29a

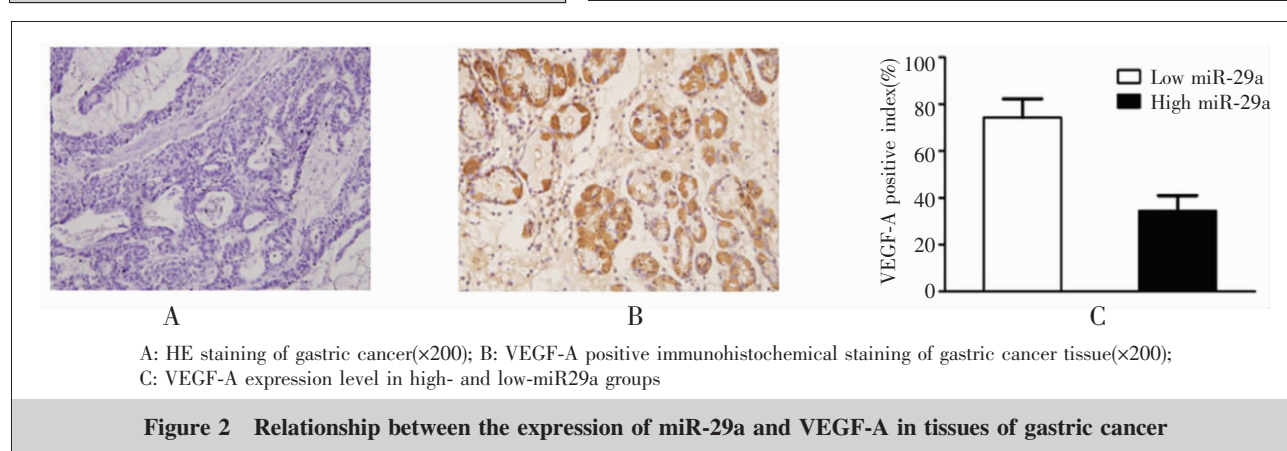


Figure 2 Relationship between the expression of miR-29a and VEGF-A in tissues of gastric cancer

存在，如调节 *Mcl-1*、*B7-H3*、*CDK6* 及 *p53* 等与肿瘤关系密切的靶基因，从而参与肿瘤的发生发展及侵袭转移等<sup>[2,3,11]</sup>。本课题组前期在胃癌患者血清及组织中均检测到 miR-29a 表达明显低于健康成年人<sup>[4,5]</sup>，且 miR-29a 表达水平与微血管密度(MVD)呈显著负相关<sup>[6]</sup>，提示 miR-29a 表达下调可能是肿瘤转移能力增强的一个标志，其表达不但可作为早期诊断指标，并且可以作为术后判断预后的有用指标。尽管如此，miR-29a 抑制胃癌的转移机制及其与 MVD 之间的调控作用机制仍有待进一步研究。

胃癌与其他实体瘤一样，其生长和转移与血管形成密切相关，尤其淋巴结转移是胃癌转移的最重要方式之一。而 VEGF 是已知的最强有力的促血管生成因子，其他血管生成因子的血管生成作用是通过增强 VEGF 的表达及生成作用实现的。研究发现胃癌细胞可通过 VEGF-A 信号通路促进癌旁组织中血管与淋巴管增生，进而利于癌细胞转移<sup>[12]</sup>；Kondo 等<sup>[13]</sup>研究发现 VEGF-A 可协同 Ang-2 促进胃癌血管增生；已有研究证实 VEGF-A 的表达与胃癌组织学类型、淋巴侵袭、淋巴转移、MVD 密切相关<sup>[14]</sup>。我们前期实验亦发现 miR-29a 表达水平升高可抑制肿瘤组织内 MVD，那么 miR-29a 是否是通过调控 VEGF-A 的表达而参与抑制胃癌的血管生成呢？目前胃癌血清及组织中进行 miR-29a 与 VEGF-A 两者表达相关性的研究尚未见报道。本研究结果显示，胃癌患者血清中 miR-29a 与 VEGF-A 的表达呈现显著负相关，miR-29a 高表达的患者其 VEGF-A 则表达水平下调；反之亦然。本研究进一步根据 miR-29a 在胃癌组织中的表达，将胃癌组织分为 miR-29a 高表达组及低表达组，经免疫组化检测发现，miR-29a 高表达的胃癌患者组织中 VEGF-A 阳性细胞数明显低于 miR-29a 低表达的胃癌患者，提示 miR-29a 抑制肿瘤组织内 MVD 可能是通过抑制 VEGF-A 的表达而实现的。因此，本研究进一步采用生物信息学的方法对 miR-29a 作用的靶基因进行预测，结果发现 miR-29a 可稳定结合于 VEGF-A 3'UTR。这表明 VEGF-A 很可能是 miR-29a 直接调控的靶基因之一，由此提示 miR-29a 可能通过抑制其靶基因 VEGF-A，进而抑制肿瘤组织内微血管生成而抑制肿瘤增殖与转移。本研究为后续探讨 miR-29a 与 VEGF-A 相互作用，进而参与胃癌生物学行为的具体分子机制提供指导，也为胃癌的分子靶向治疗提

供新的思路和依据。

## 参考文献：

- [1] Giordano A,Cito L. Advances in gastric cancer prevention [J]. World J Clin Oncol,2012,3(9):128–136.
- [2] Xu H,Cheng IY,Guo HF,et al. MicroRNA miR-29 modulates expression of immunoinhibitory molecule B7-H3: potential implications for immune based therapy of human solid tumors[J]. Cancer Res,2009,69(15):6275–6281.
- [3] Kwiecinski M,Elfimova N,Noetel A,et al. Expression of platelet-derived growth factor-C and insulin-like growth factor I in hepatic stellate cells is inhibited by miR-29 [J]. Lab Invest,2012,92(27): 978–987.
- [4] Chen L,Chen XH,Li XC,et al. Expression of miR-29 in serum of gastric cancer patients and its effect on prognosis [J]. Journal of Molecular Diagnosis and Therapy,2011,3 (2): 17–20. [陈陵,陈先华,李学成,等. miR-29 在胃癌患者血清中的表达及对预后的影响[J]. 分子诊断与治疗杂志,2011,3(2): 17–20.]
- [5] Chen L,Wang ZH,Li XC,et al. Expression of miR-29 in gastric cancer and its clinical significance [J]. Chinese Journal of Cancer Biotherapy,2011,18 (3): 320–323. [陈陵,王宗华,李学成,等. 胃癌组织中 miR-29 的表达及其临床意义. 中国肿瘤生物治疗杂志,2011,18(3): 320–323. ]
- [6] Chen L,Li XC,Wang J,et al. Expression of miR-29 and its relationship with microvessel density in gastric cancer [J].Journal of Chinese Oncology,2011,17 (4): 241–244. [陈陵,李学成,王军,等. miR-29 在胃癌中的表达及其与微血管密度的相关性 [J]. 肿瘤学杂志 ,2011,17(4): 241–244. ]
- [7] Cao Y,E G,Wang E,et al. VEGF exerts an angiogenesis-independent function in cancer cells to promote their malignant progression[J]. Cancer Res,2012,72(16): 3912–3918.
- [8] Ding M,Fu X,Tan H,et al. The effect of vascular endothelial growth factor C expression in tumor-associated macrophages on lymphangiogenesis and lymphatic metastasis in breast Cancer [J]. Mol Med Report,2012,6 (5): 1023–1029.
- [9] Stamatopoulos B,Meuleman N,Haibe-Kains B,et al. microRNA-29c and microRNA-223 down-regulation has in vivo significance in chronic lymphocytic leukemia and improves disease risk stratification [J]. Blood,2009,113 (21):5237–5245.
- [10] Yokoyama Y,Charnock-Jones DS,Licence D,et al. Vascular endothelial growth factor D is an independent prognostic factor in epithelial ovarian carcinoma[J]. Br J Cancer,2003,88(2):237–244.
- [11] Zhao JJ,Lin J,Lwin T,et al. microRNA expression profile and identification of miR-29 as a prognostic marker and pathogenetic factor by targeting CDK6 in mantle cell lymphoma[J]. Blood,2010,115(13): 2630–2639.
- [12] Dadras S,Detmar M. Angiogenesis and lymphangiogenesis of skin cancers [J]. Hematol Oncol Clin North Am,2004,18(5): 1059–1070.
- [13] Kondo K,Kaneko T,Baba M,et al. VEGF-C and VEGF-A synergistically enhance lymph node metastasis of gastric cancer[J]. Biol Pharm Bull,2007,30(4): 633–637.
- [14] Onogawa S,Kitadai Y,Amioka T,et al. Expression of vascular endothelial growth factor (VEGF)-C and VEGF-D in early gastric carcinoma: correlation with clinicopathological parameters[J]. Cancer Lett,2005, 226(1):85–90.